

# (2747) Cesky Krumlov

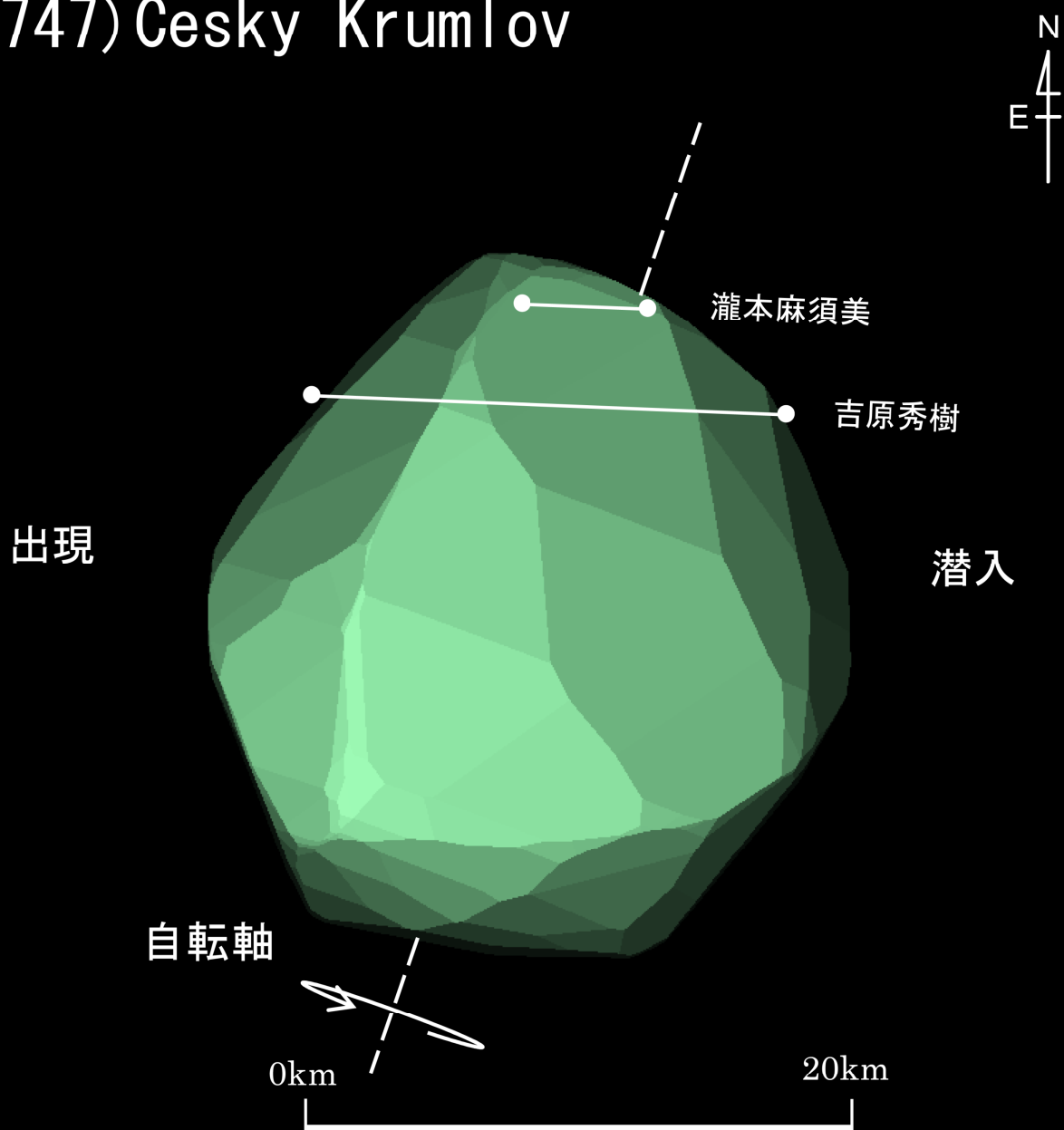


図1 (2747) Cesky Krumlov 2025年5月22日 15h58m17s UT DAMIT Model 4994 ( $\lambda = 12$ 、 $\beta = -63$ )

※1  $P = 161^\circ$ 、 $\beta_e = +2^\circ$ 、 $\lambda_e = +134.3^\circ$ 、 $k = 0.996$ 、 $B = 122.7^\circ$

# (2747) Cesky Krumlov

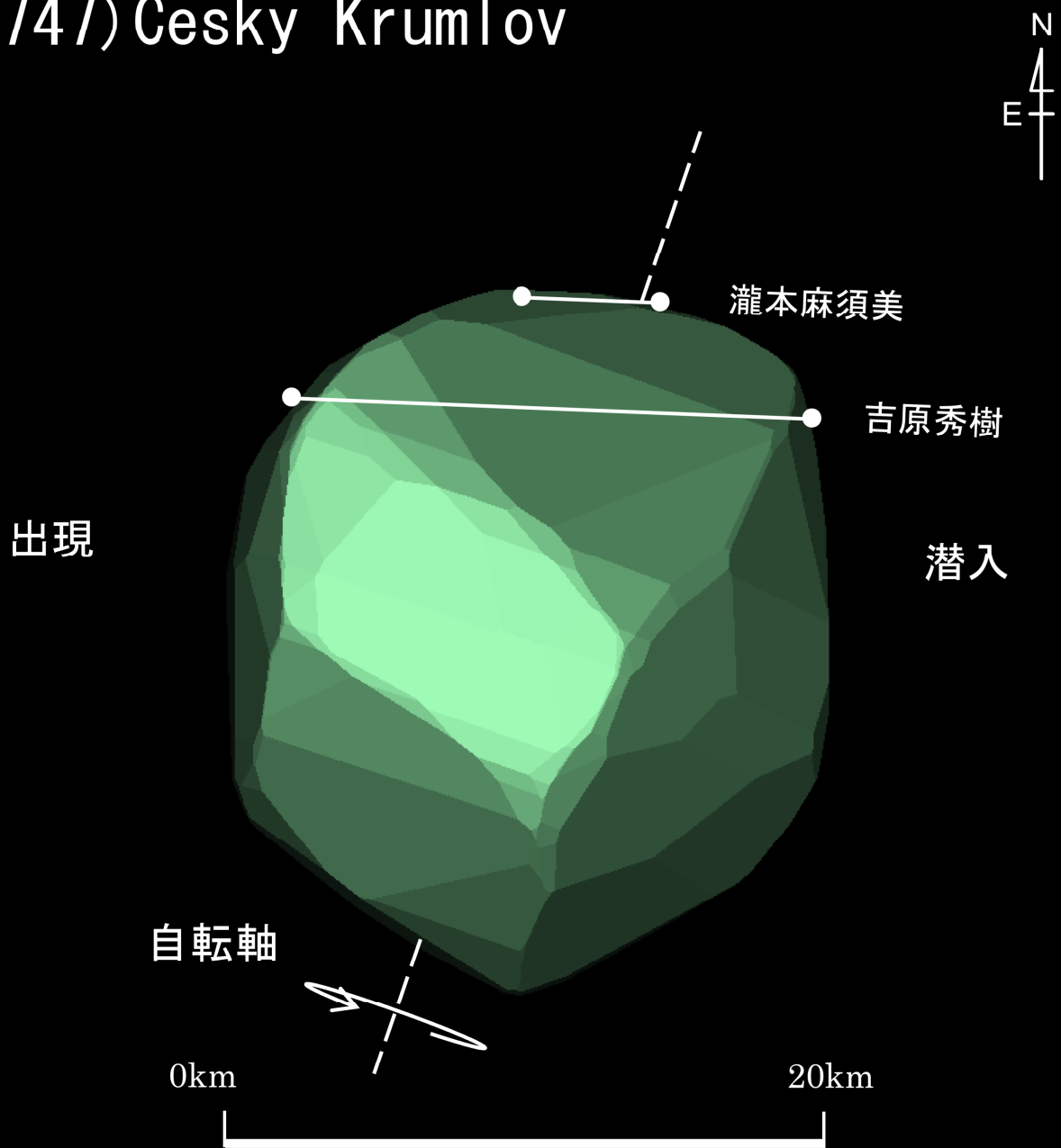


図2 (2747) Cesky Krumlov 2025年5月22日 15h58m17s UT DAMIT Model 4994 ( $\lambda = 12$ ,  $\beta = -63$ ) ※  
1  $P = 161^\circ$ ,  $\beta_e = +2^\circ$ ,  $\lambda_e = -45.4^\circ$ , Scale Factor 1:19.1,  $k = 0.996$ ,  $B = 122.7^\circ$

# (881) Athene

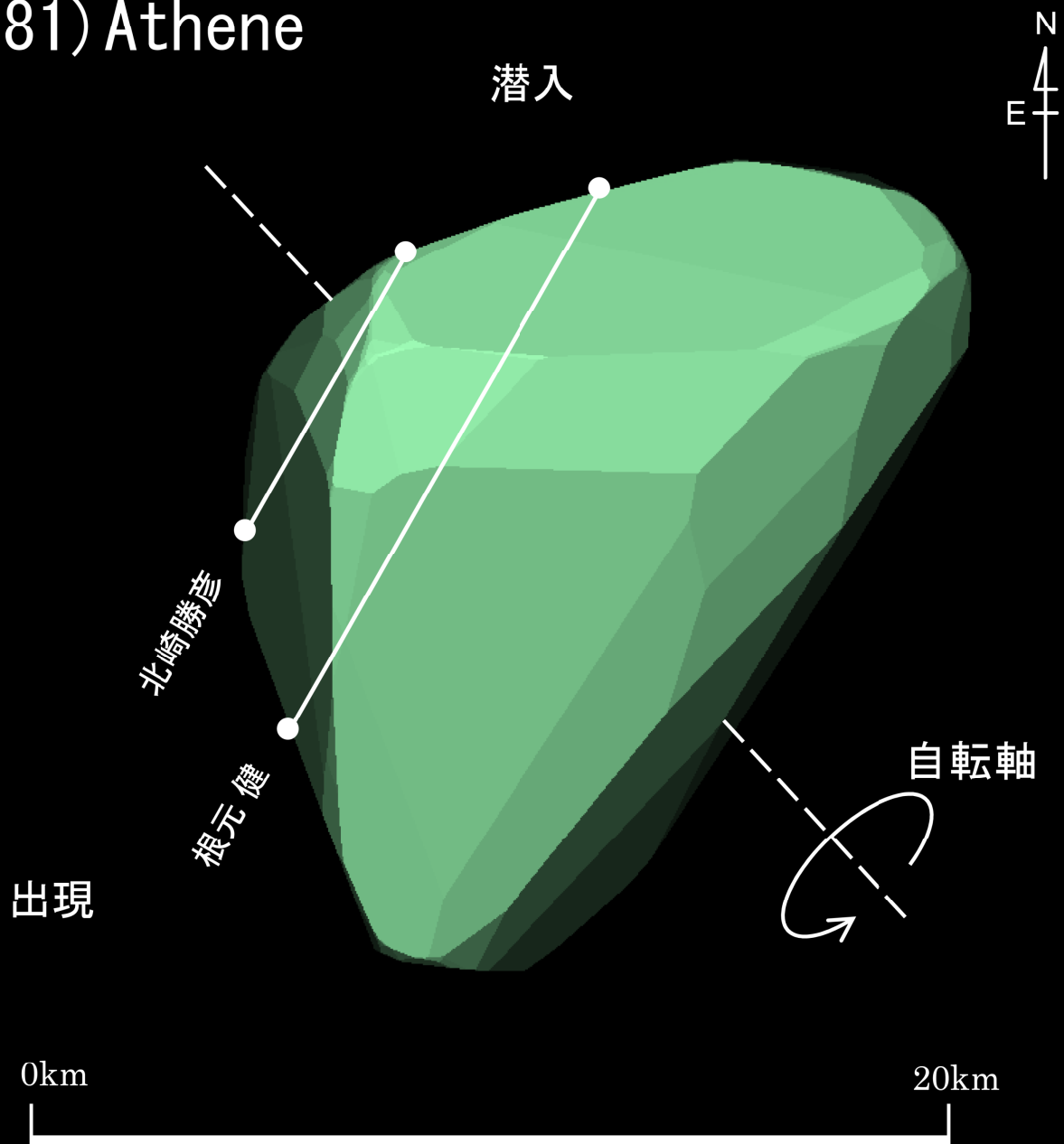


図3 (881)Athene 2025年3月17日 10h58m47s UT DAMIT Model 1226 ( $\lambda = 338$ 、 $\beta = -43$ )※1  
 $P = 223^\circ$ 、 $\beta_e = +24^\circ$ 、 $\lambda_e = +144^\circ$ 、Scale Factor 1: 13.0、 $k = 0.980$ 、 $B = 274.6^\circ$

# (6223) Dahl

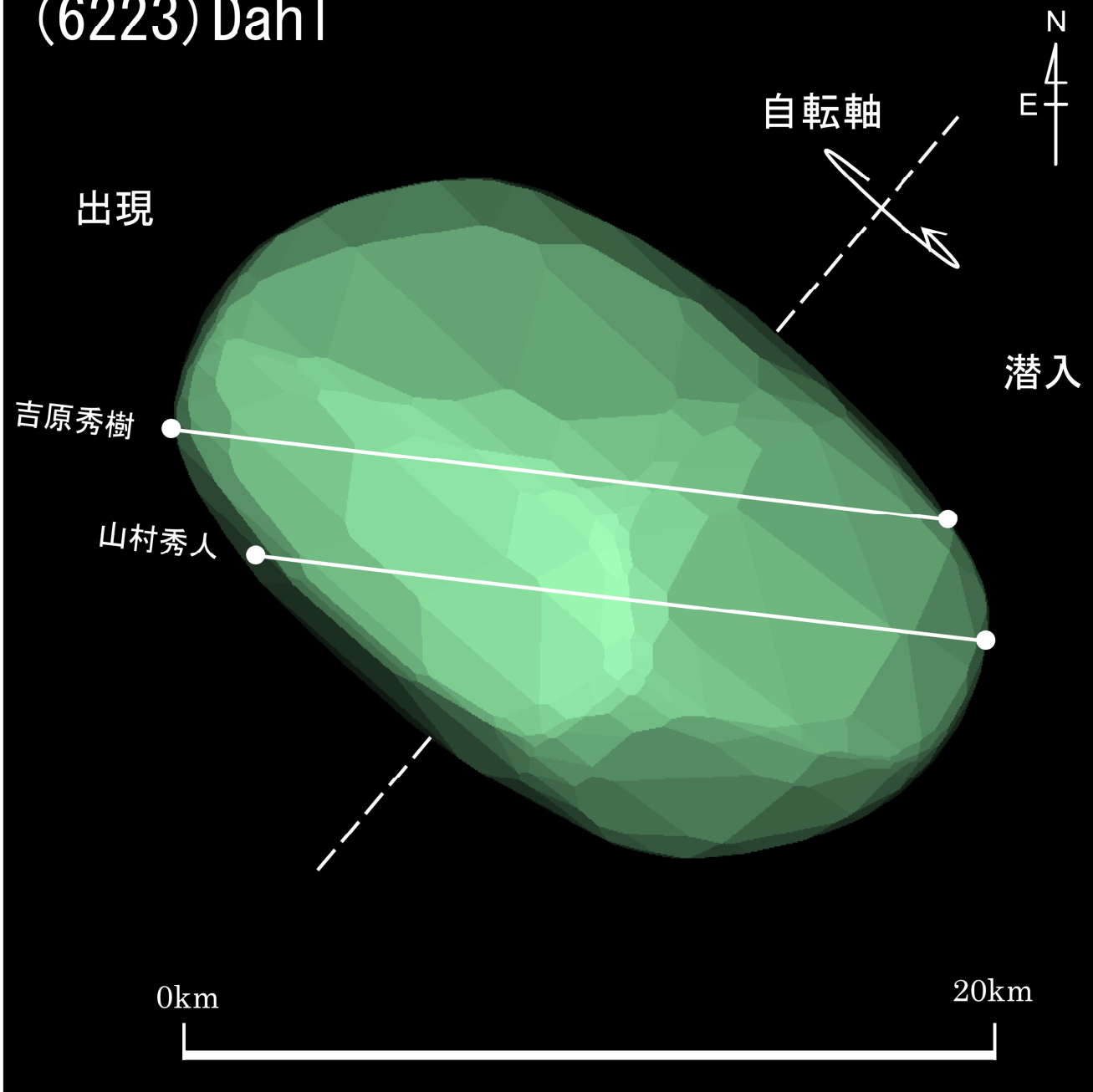


図4 (6223) Dahl 2025年7月20日 17h16m04s UT DAMIT Model 6160 ( $\lambda = 207$ 、 $\beta = +64$ ) ※1  
 $P = 320^\circ$ 、 $\beta_e = +4^\circ$ 、 $\lambda_e = -64.2^\circ$ 、Scale Factor 1: 12.9、 $k = 0.999$ 、 $B = 69.2^\circ$

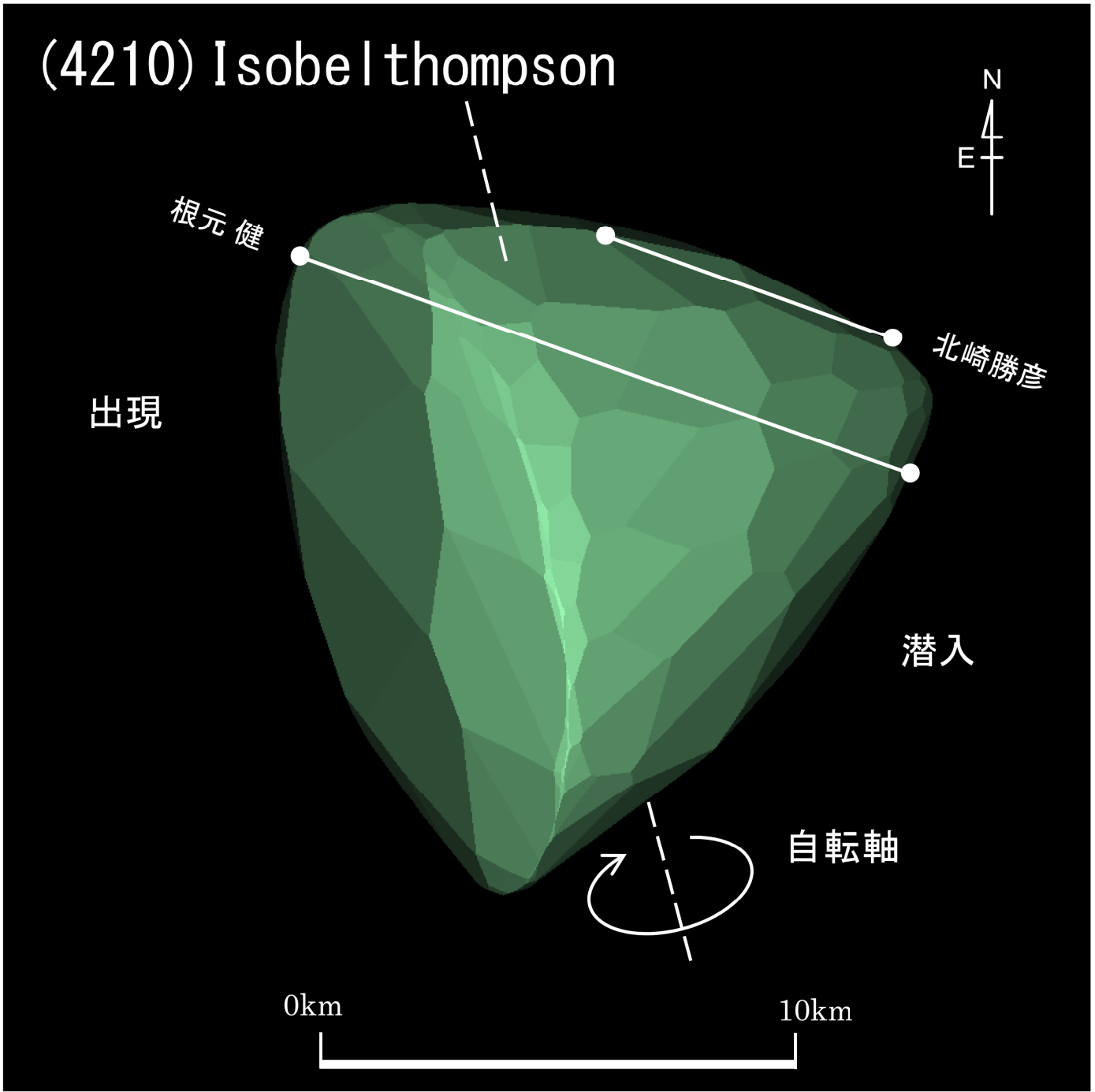


図5 (4210) Isobelthompson 2025年7月22日 14h23m02s UT DAMIT Model 11859 ( $\lambda = 267^\circ$ 、 $\beta = -42^\circ$ )※1  $P = 195^\circ$ 、 $\beta_e = -32^\circ$ 、 $\lambda_e = +68^\circ$ 、Scale Factor 1: 10.6、 $k = 0.998$ 、 $B = 310.4^\circ$

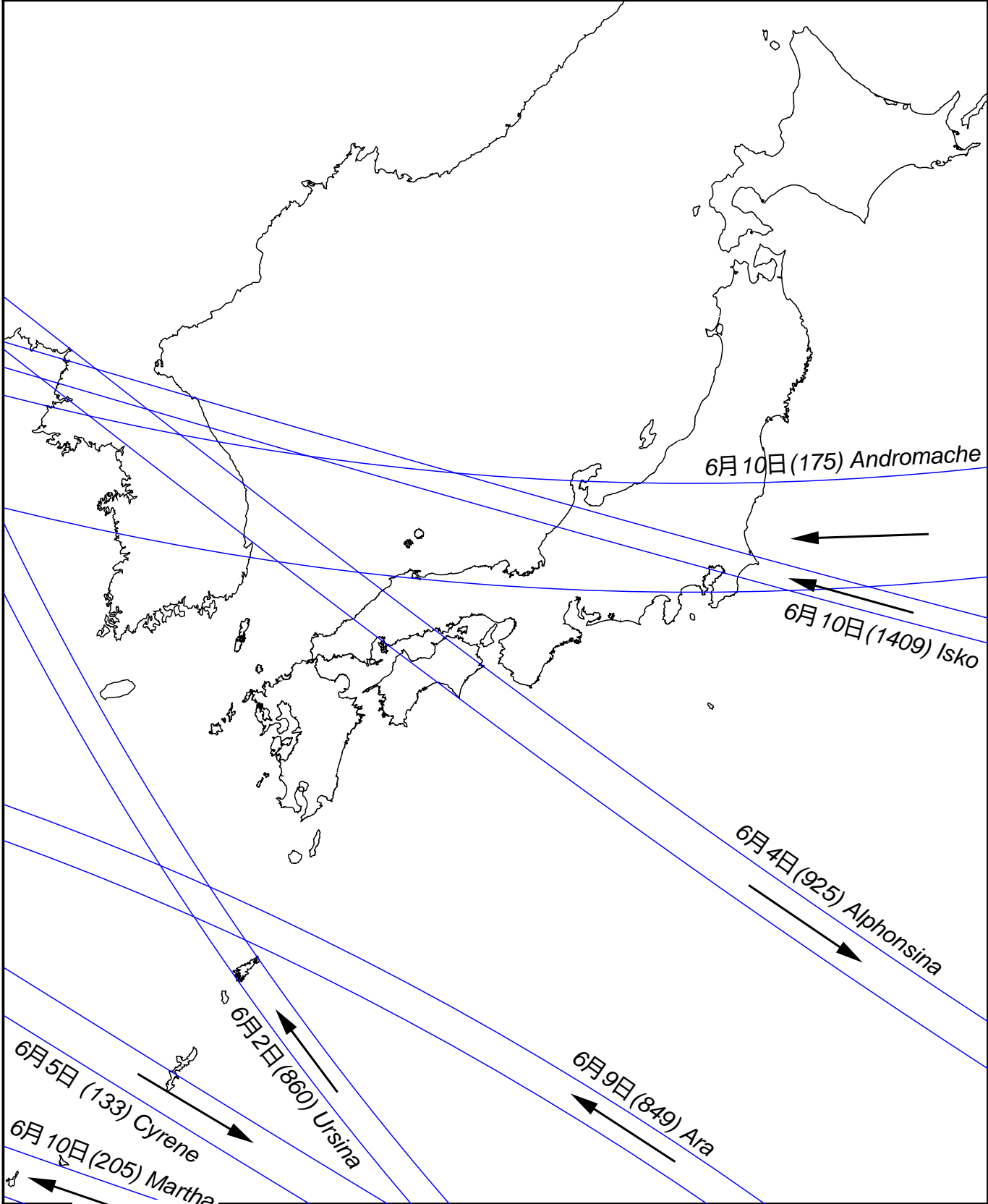


図6 小惑星による主な掩蔽帯経路 ( S.Preston初期予報ほか ) 2026年6月 ~ 10日  
 日矢印は影の移動方向を示す

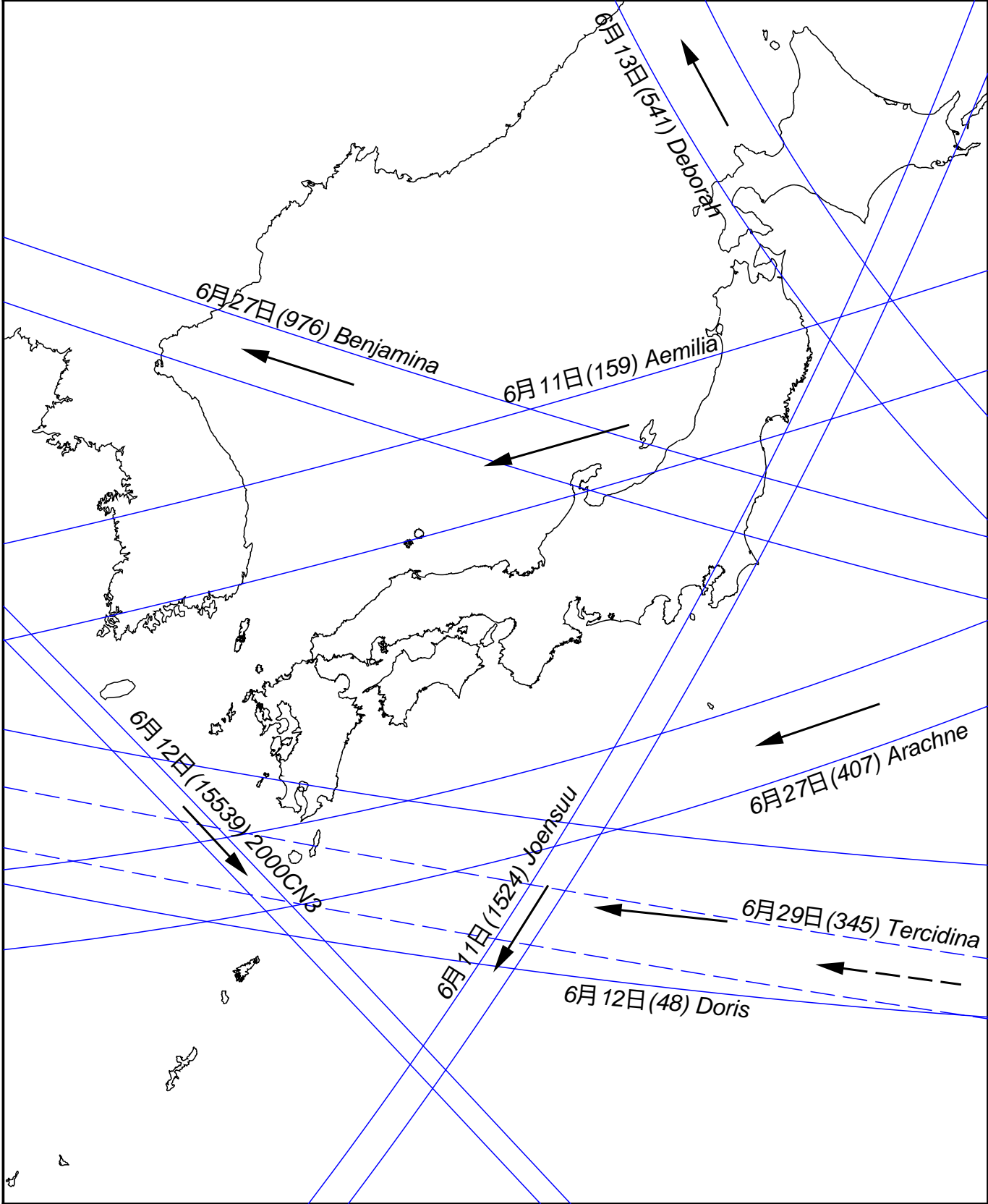


図7 小惑星による主な掩蔽帯経路 (S.Preston初期予報ほか) 2026年6月11日 ~ 矢印は影の移動方向を示す